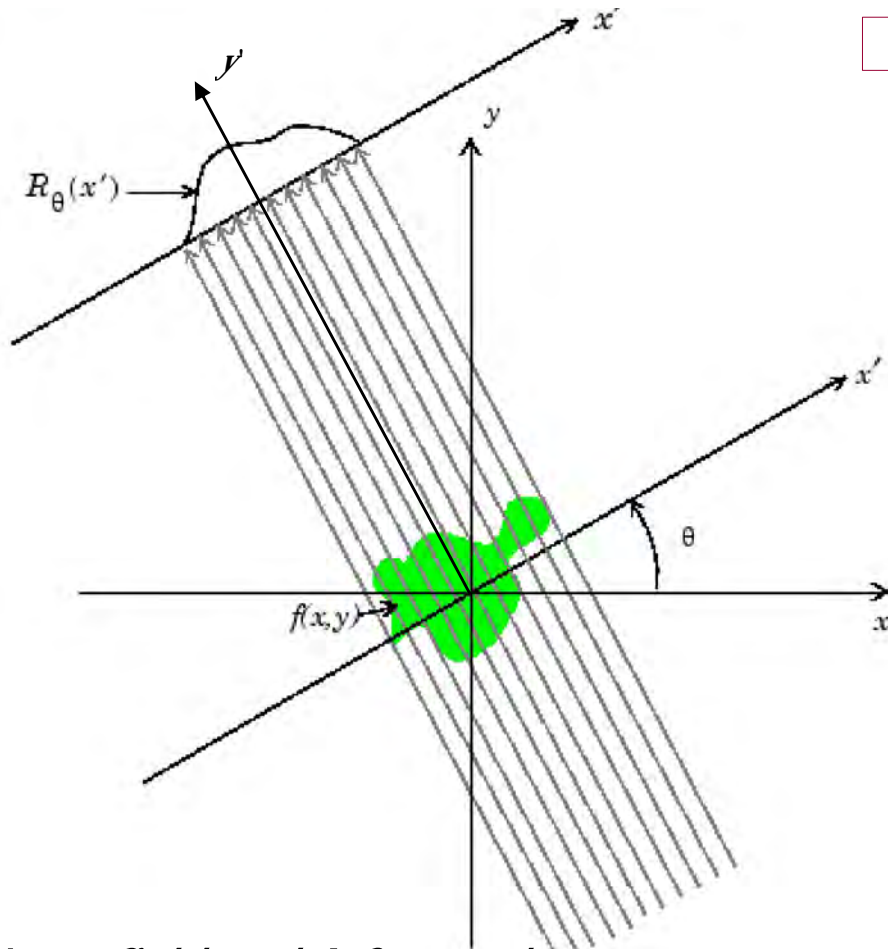


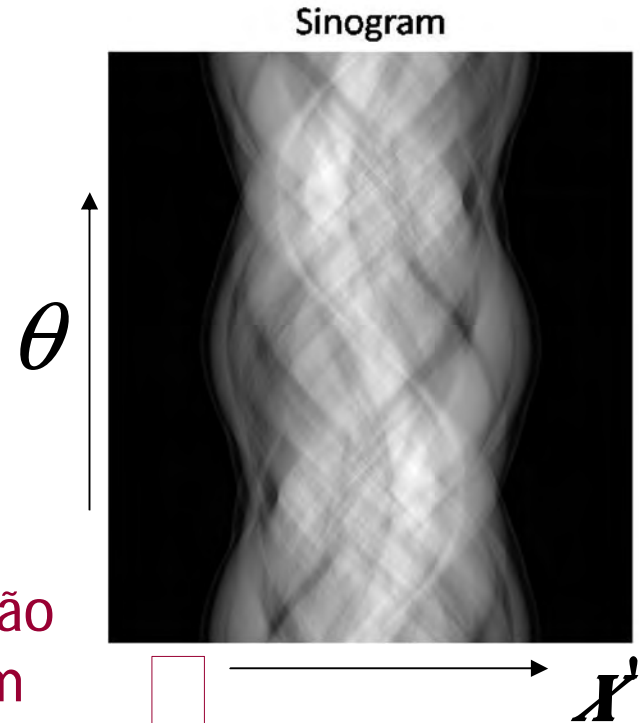
# Princípio da Tomografia Axial Computorizada (TAC)

## Projecções de Radon através de um objecto

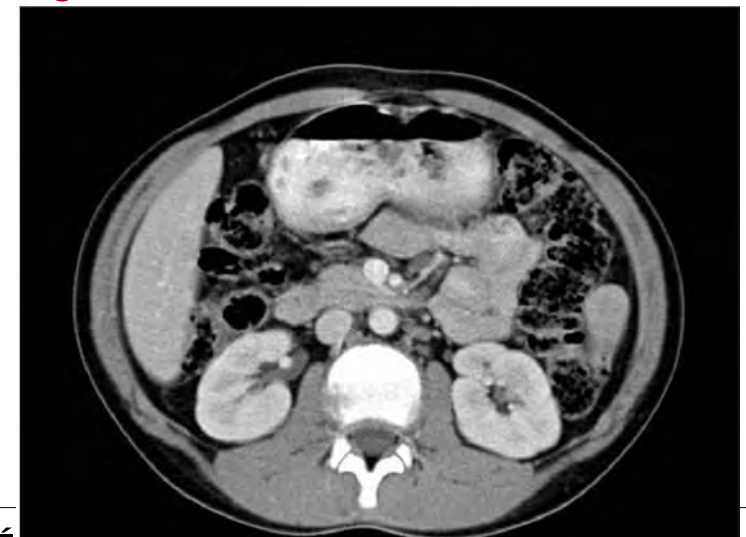
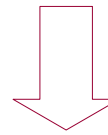
$$R(x', \theta) = \int f(x', y') dy'$$



Aquisição



Reconstrução  
de imagem  
(pequeno milagre)



*G. Hounsfield and A. Cormack,  
Prémio Nobel da Fisiologia ou Medicina, 1979*

## Transformada de Fourier (recapitulação)

### Definição

$$F(\omega_x) = \frac{1}{\sqrt{2\pi}} \int_{-\infty}^{\infty} f(x) e^{i\omega_x x} dx = \text{transformada de } f(x) = F(f)$$

$$f(x) = \frac{1}{\sqrt{2\pi}} \int_{-\infty}^{\infty} F(\omega_x) e^{-i\omega_x x} d\omega_x = \text{transformada inversa} = F^{-1}(F)$$

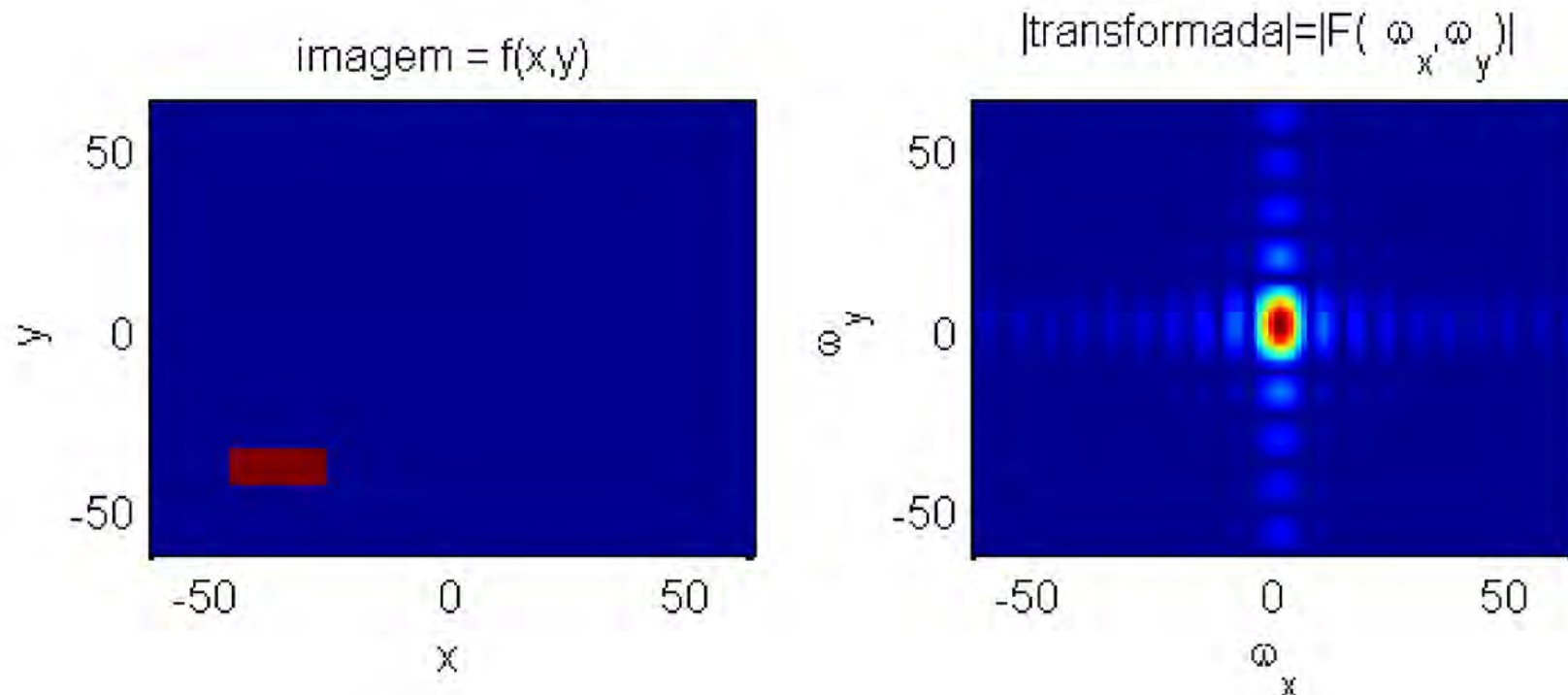
### Teorema da convolução (ou da filtragem)

$$\frac{1}{\sqrt{2\pi}} \int_{-\infty}^{\infty} F(\omega_x) \underbrace{H(\omega_x)}_{\text{"filtro"}} e^{-i\omega_x x} d\omega_x = \int_{-\infty}^{\infty} f(x') h(x-x') dx'$$

$$F^{-1}(FH) = F^{-1}(F) \otimes F^{-1}(H)$$

## Transformada de Fourier de uma imagem (2D)

$$\begin{aligned}
 F(\omega_x, \omega_y) &= \int \left( \int f(x, y) e^{i\omega_y y} dy \right) e^{i\omega_x x} dx && (\text{à parte de constantes}) \\
 &= \iint f(x, y) e^{i\omega_x x + i\omega_y y} dx dy \\
 &= \iint f(x, y) e^{i\vec{\omega}^T \vec{r}} dx dy, \quad \vec{r} = [x, y]; \quad \vec{\omega} = [\omega_x, \omega_y]
 \end{aligned}$$



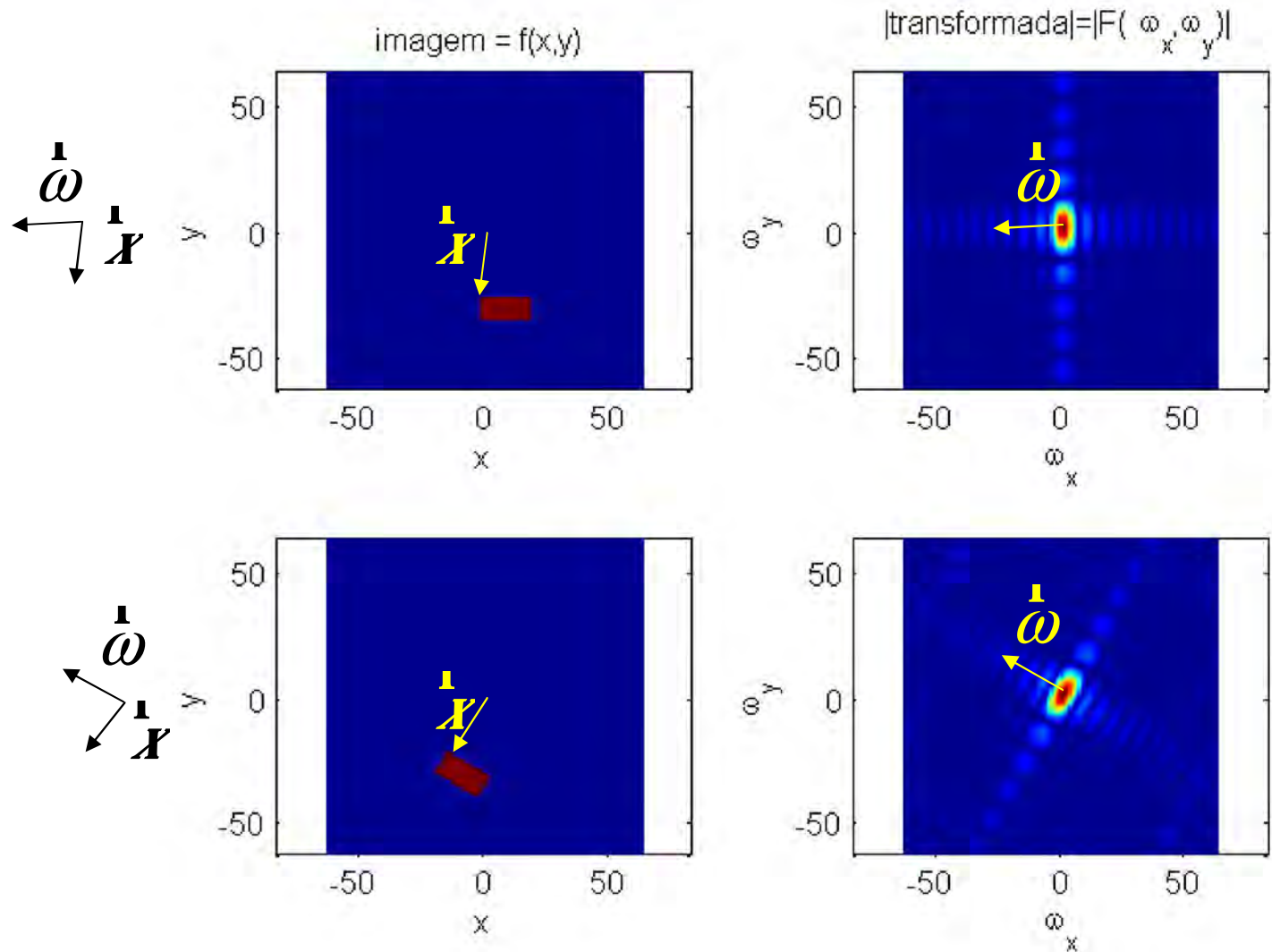
## Propriedade 1: rotação da imagem=rotação da transformada

$$F(\vec{\omega}) = \iint f(x, y) e^{i\vec{\omega} \cdot \vec{r}} dx dy, \quad \vec{r} = [x, y]; \quad \vec{\omega} = [\omega_x, \omega_y]$$

O produto interno de  
2 vectores não se  
altera se ambos  
rodarem



nada se altera se a  
imagem e  
a transformada  
rodarem do mesmo  
ângulo



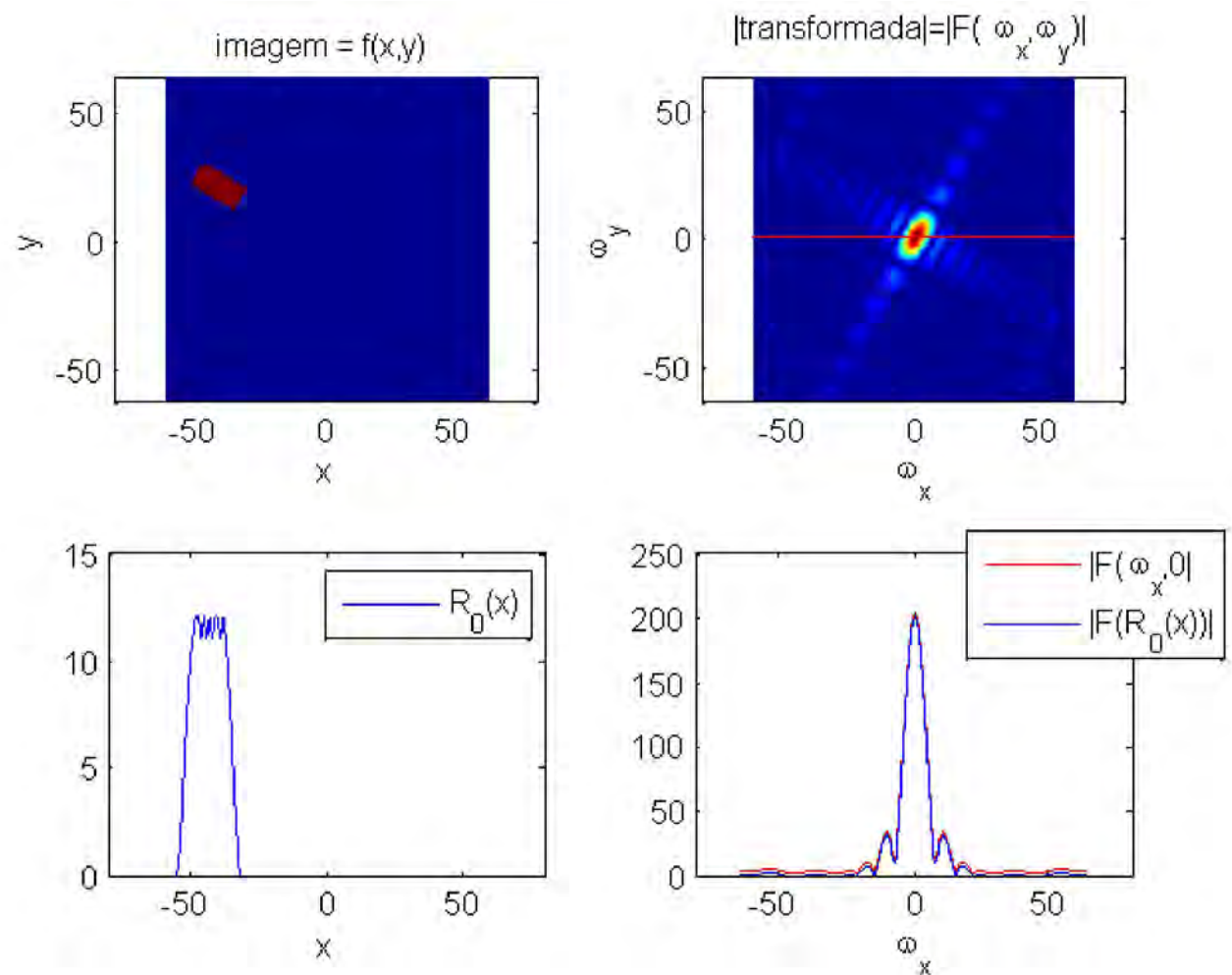
## Propriedade 2: teorema da fatia central

$$F(\omega_x, \omega_y) = \int \left( \int f(x, y) e^{i\omega_y y} dy \right) e^{i\omega_x x} dx$$

$$F(\omega_x, 0) = \int \left( \int f(x, y) dy \right) e^{i\omega_x x} dx$$

Projeção na direcção y  
 $R_0(x)$

A transformada da  
 projecção em y é a  
 linha central da  
 transformada da  
 imagem

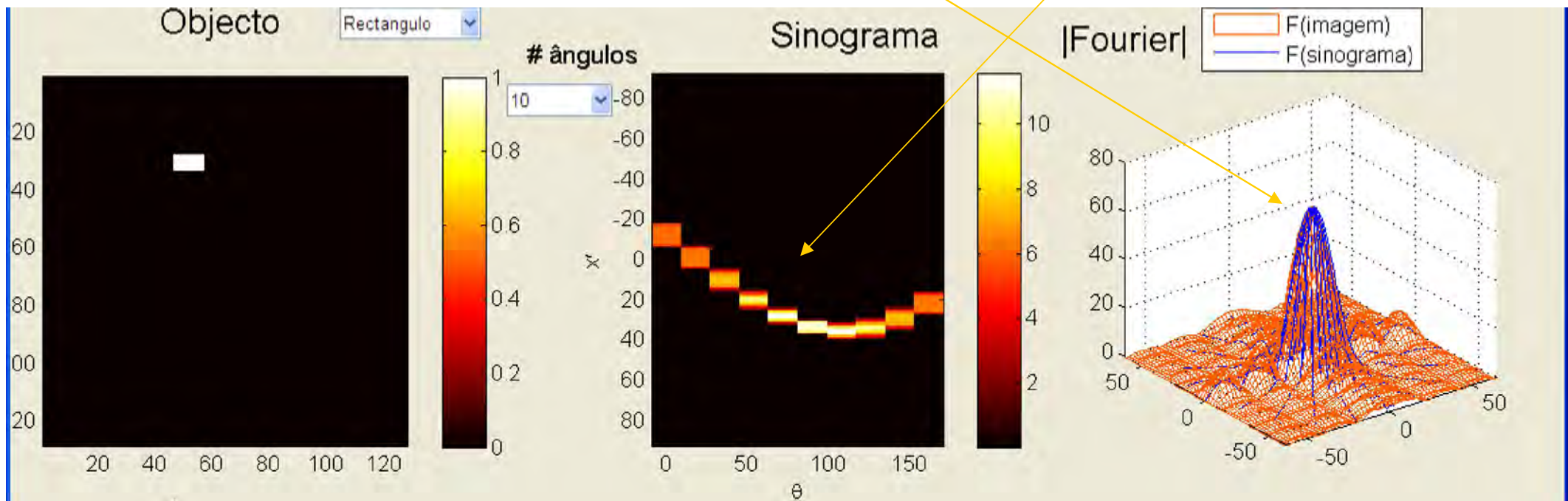




## Reconstrução por interpolação no espaço da transformada

Combinando as 2 propriedades anteriores, concluímos que o conjunto de projecções a diversos ângulos define a transformada da imagem sobre raios que passam pela origem, rodados dos mesmos ângulos.

$$F(\omega_x, \theta) = \int R(x', \theta) e^{j\omega_x x'} dx' = F(R)$$



Para reconstruir a imagem é preciso definir a transformada numa grelha rectangular (vermelha), por interpolação a partir das linhas medidas (azuis). É claro que a informação é muito melhor nas baixas frequências que nas altas, onde as linhas são mais espaçadas.

## Reconstrução por retro projecção filtrada

A técnica mais comum e famosa: FBP (Filtered Back-Projection)

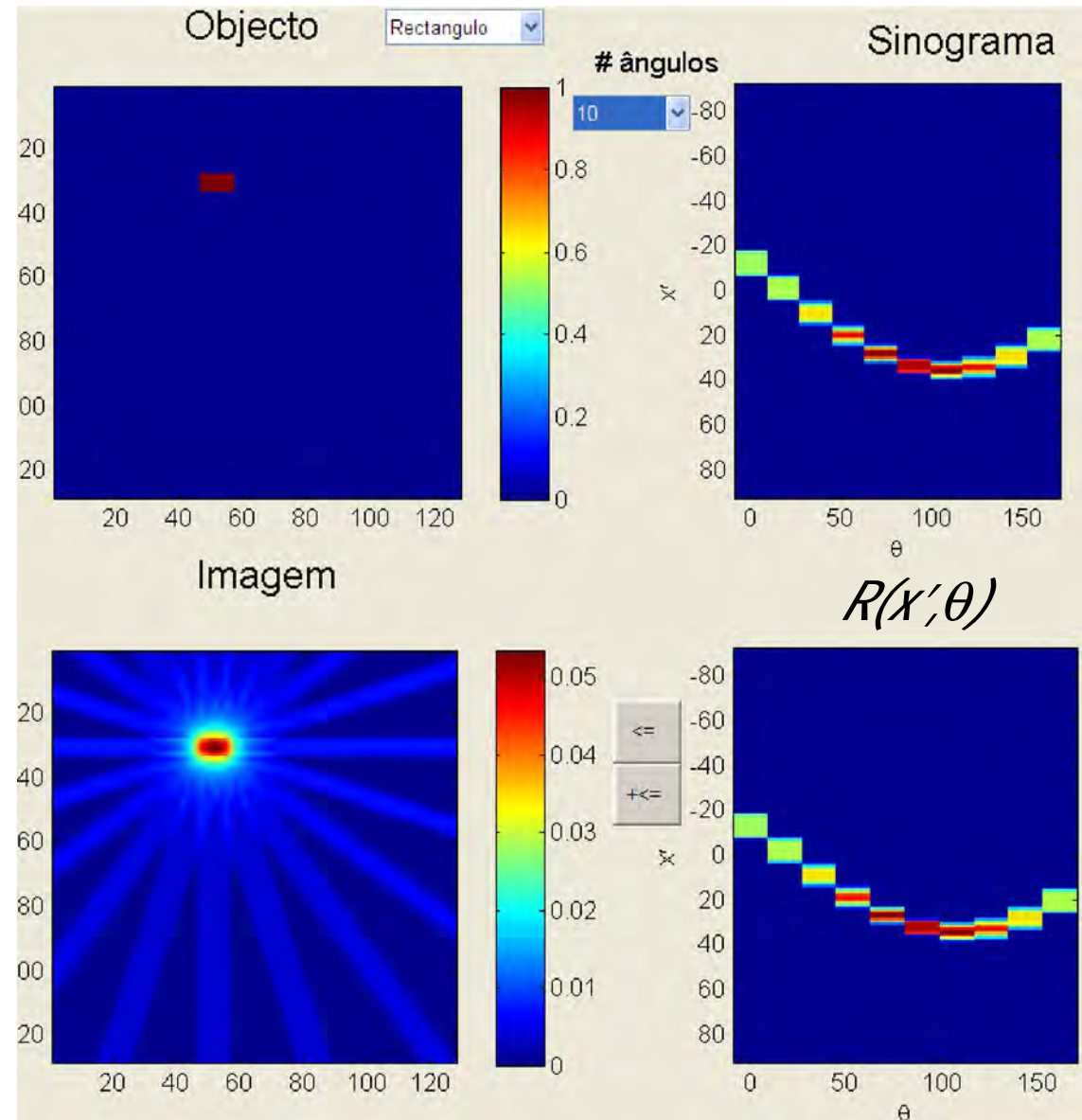
### 1º Retro projecção simples

$$f(x, y) \approx \int_0^\pi R(x', \theta) d\theta$$

$$x' = x \cos \theta + y \sin \theta$$

(equação das linhas em  $y'$ )

Parece-se, mas algo está a mais  
e o rectângulo é mal definido



## Reconstrução por retro projecção filtrada (FBP)

Curiosa propriedade da transformada inversa em 2D

$$f(x, y) = \int_{-\infty}^{\infty} \int_{-\infty}^{\infty} F(\omega_x, \omega_y) e^{-i\omega_x x - i\omega_y y} d\omega_x d\omega_y$$

Vamos exprimir a transformada inversa em coordenadas (quase) polares

$$\omega_x = \omega \cos \theta; \quad \omega_y = \omega \sin \theta$$

$$f(x, y) = \int_0^{\pi} \int F(\omega, \theta) e^{-i\omega \cos \theta x - i\omega \sin \theta y} |\omega| d\omega d\theta$$

$$= \int_0^{\pi} \int F(\omega, \theta) e^{-i\omega(x \cos \theta + y \sin \theta)} |\omega| d\omega d\theta$$

$$= \int_0^{\pi} \left( \int F(\omega, \theta) |\omega| e^{-i\omega x'} d\omega \right) d\theta$$

$$R(x', \theta)$$

$$x' = x \cos \theta + y \sin \theta$$

Retro projecção da função  $R(x', \theta)$



## Reconstrução por retro projecção filtrada (FBP)

O que é a função  $R'(x', \theta)$ ?

$$R'(x', \theta) = \int_{-\infty}^{\infty} F(\omega, \theta) | \omega | e^{-i\omega x'} d\omega$$

*transformada  
das projecções  
medidas:  $F(R)$*   
*filtro de Ram-Lak  
 $H(\omega)$*

basta calcular a transformada  
inversa e retroprojectar  
 $R' = \text{projecções filtradas}$

Pode-se trabalhar apenas no espaço das projecções  
usando o teorema da convolução

$$R'(x', \theta) = F^{-1}(F) \otimes F^{-1}(H)$$

$F^{-1}(F) = R(x', \theta)$  as projecções medidas, a convoluir com

Filtro de Ram-Lak (Ramachandran-Lakshminarayanan)

$$F^{-1}(H) = \omega_{\max}^2 \left( 2 \text{sinc}(2\omega_{\max} x') - \text{sinc}^2(\omega_{\max} x') \right)$$

$$\text{sinc}(x) = \sin(x) / x$$

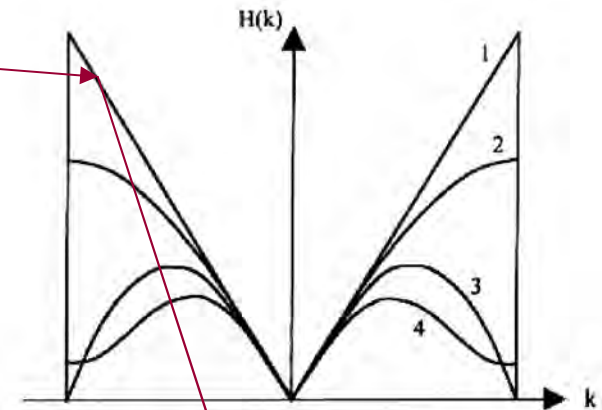
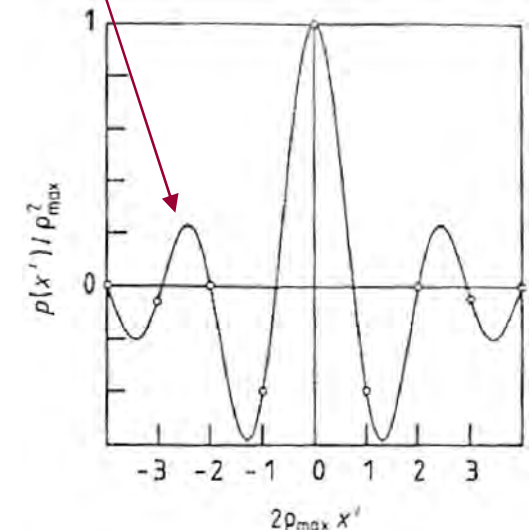
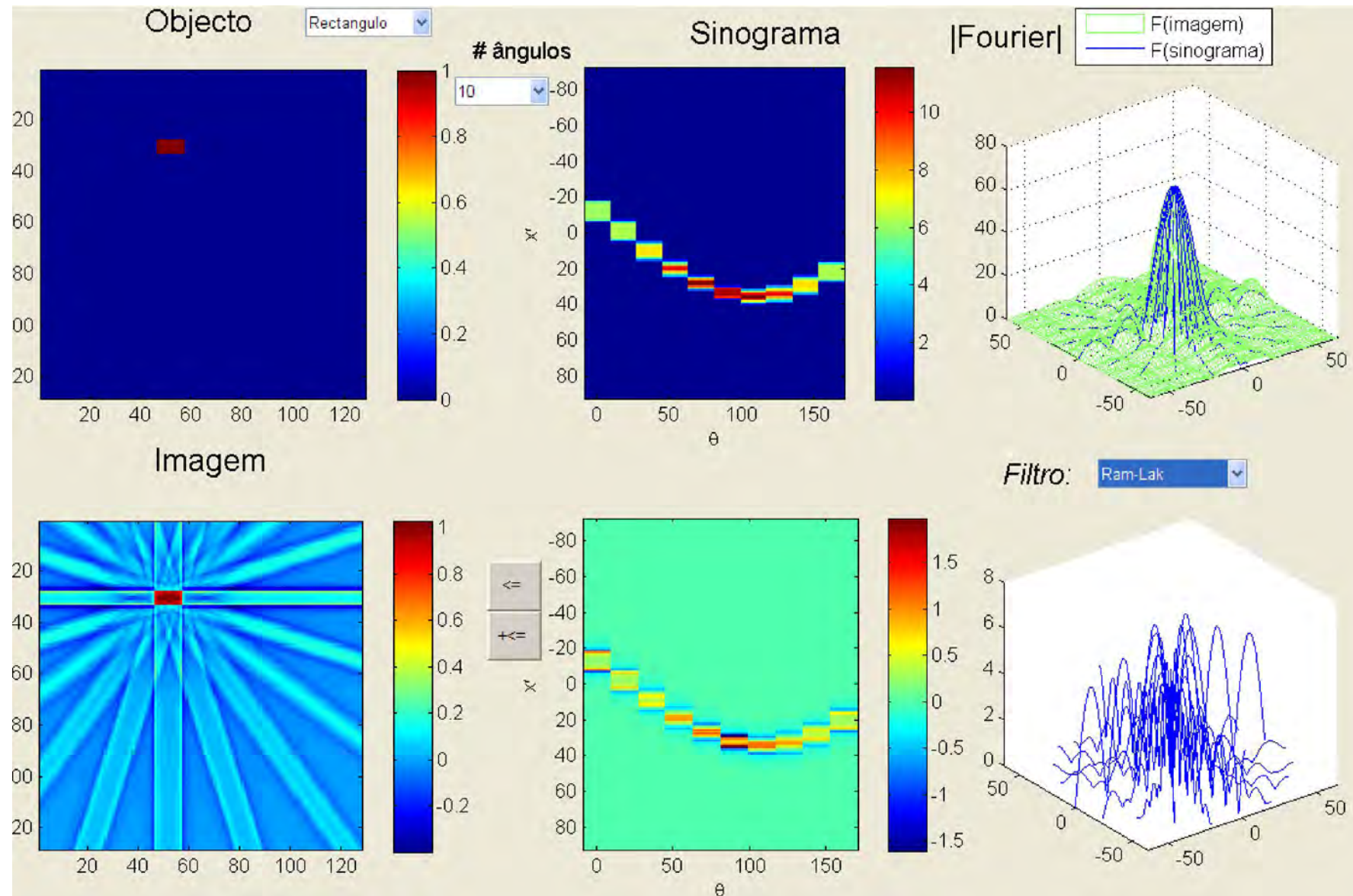


FIGURE B.5. Some common filter functions used for backprojection, 1, Ram-Lak; 2, Shepp-Logan; 3, low-pass cosine; and 4, generalized Hamming.



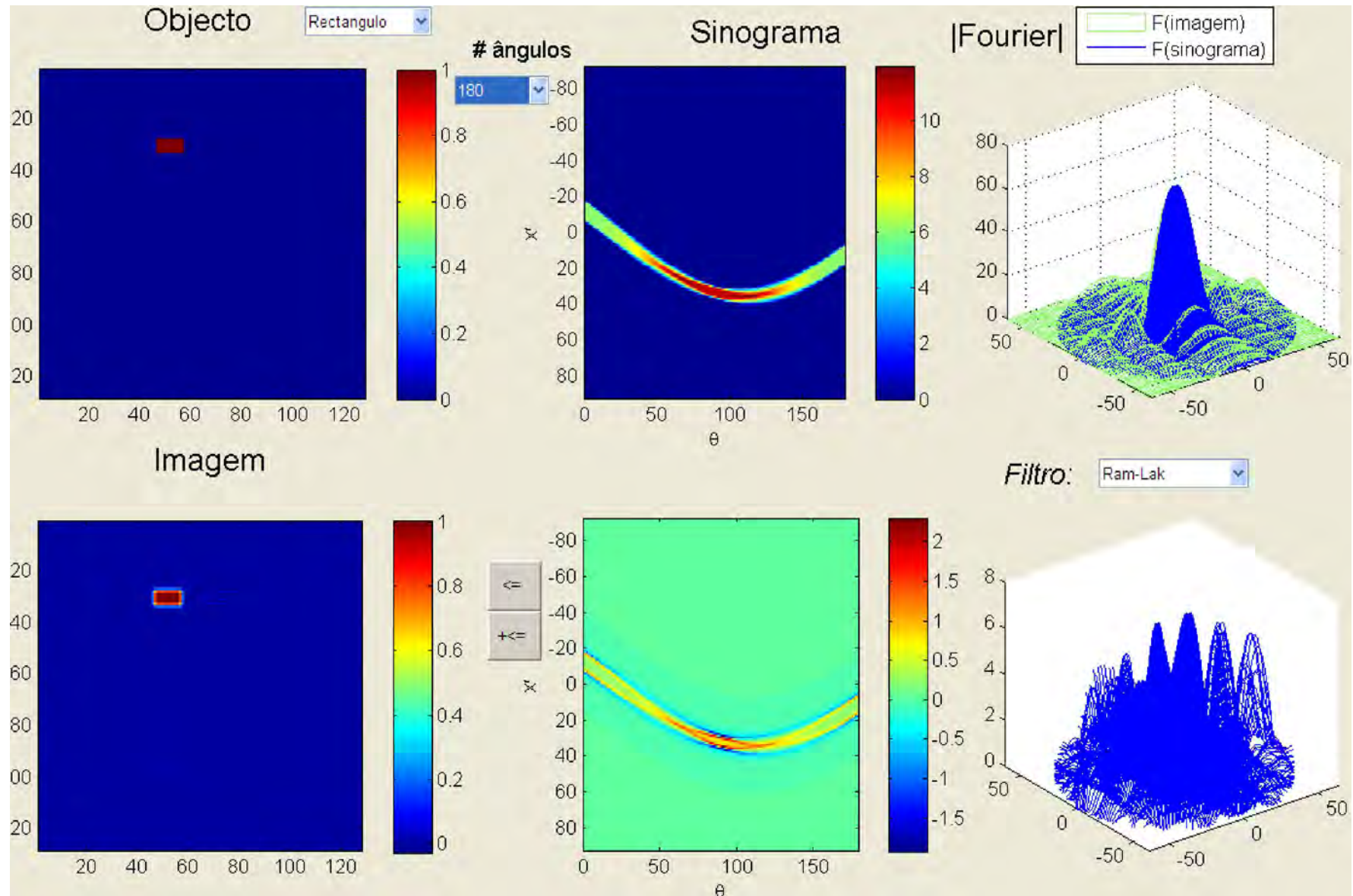
## Reconstrução por retro projecção filtrada (FBP)

Rectângulo muito melhor definido. Ainda está algo a mais.



## Reconstrução por retro projecção filtrada (FBP)

180 projecções: praticamente a perfeição!





## O que se mede em TAC?

As projecções de Radon são

$$R(\mathbf{x}', \theta) = -\ln \left( \frac{I_\theta(\mathbf{x}')}{I_\theta^0(\mathbf{x}')} \right) = \int \mu(\mathbf{x}', y') dy'$$

$I_\theta(\mathbf{x}')$  = intensidade de raios-X medidos nos detectores

$I_\theta^0(\mathbf{x}')$  = idem, sem paciente

$\mu$  = coeficiente de atenuação linear dos tecidos

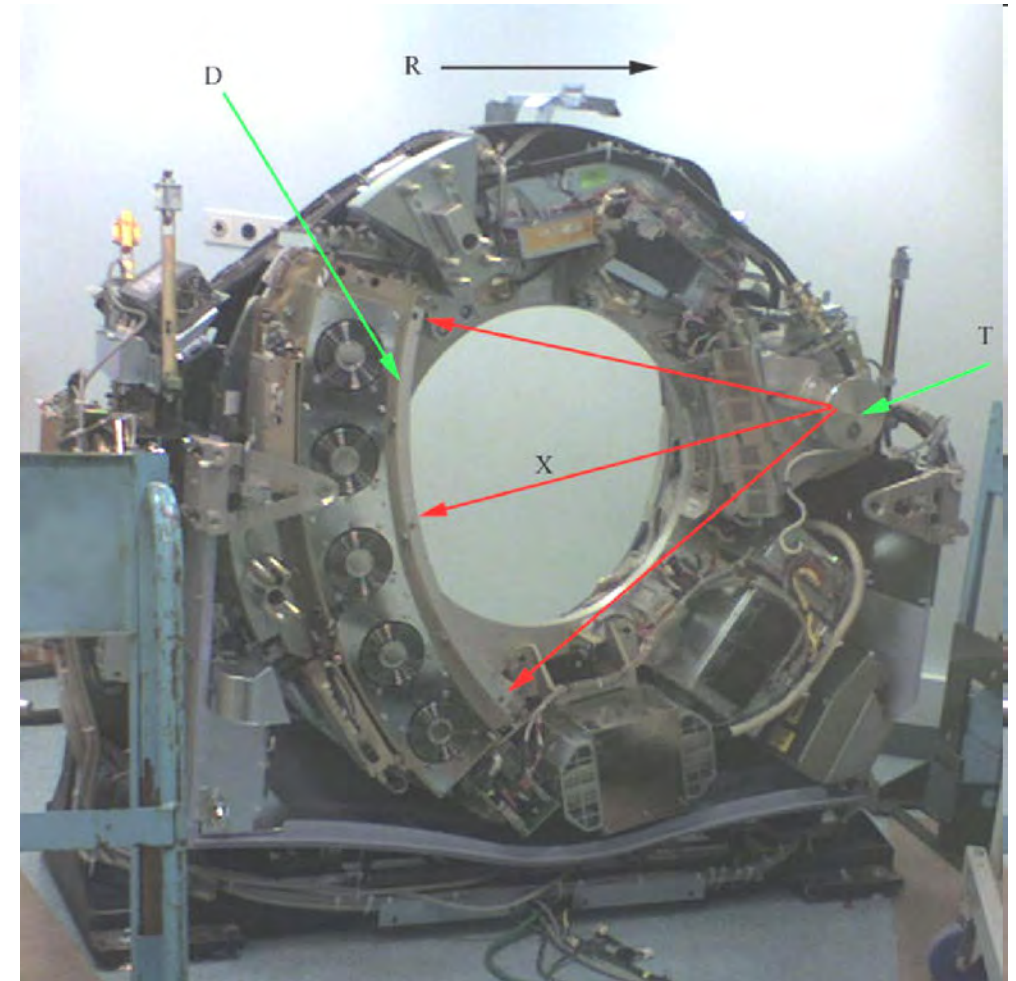
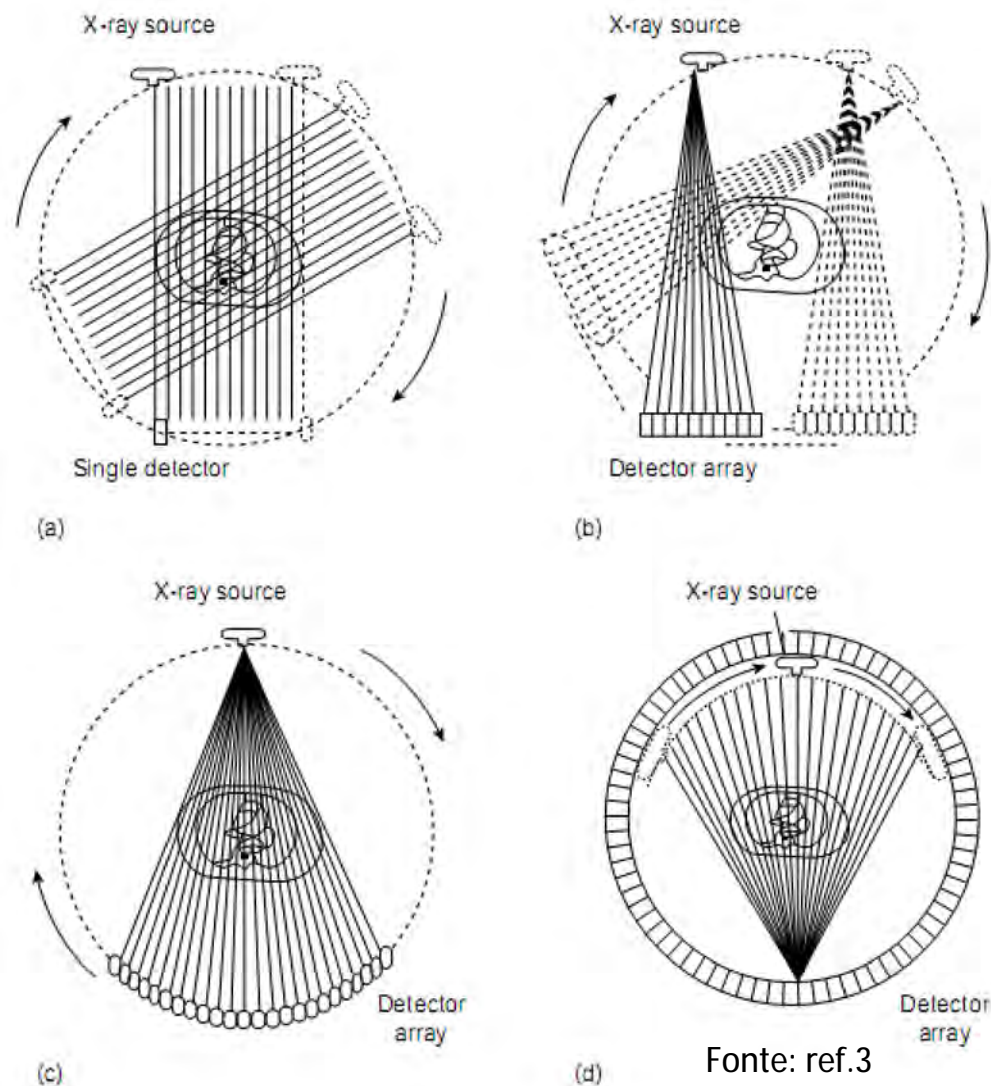
As imagens são apresentadas em termos de “números de Hounsfield”

$$CT = \frac{\mu_{\text{tecido}} - \mu_{\text{água}}}{\mu_{\text{água}}} \times 1000$$

**Table 1. Typical CT Number Values** Fonte: ref.3

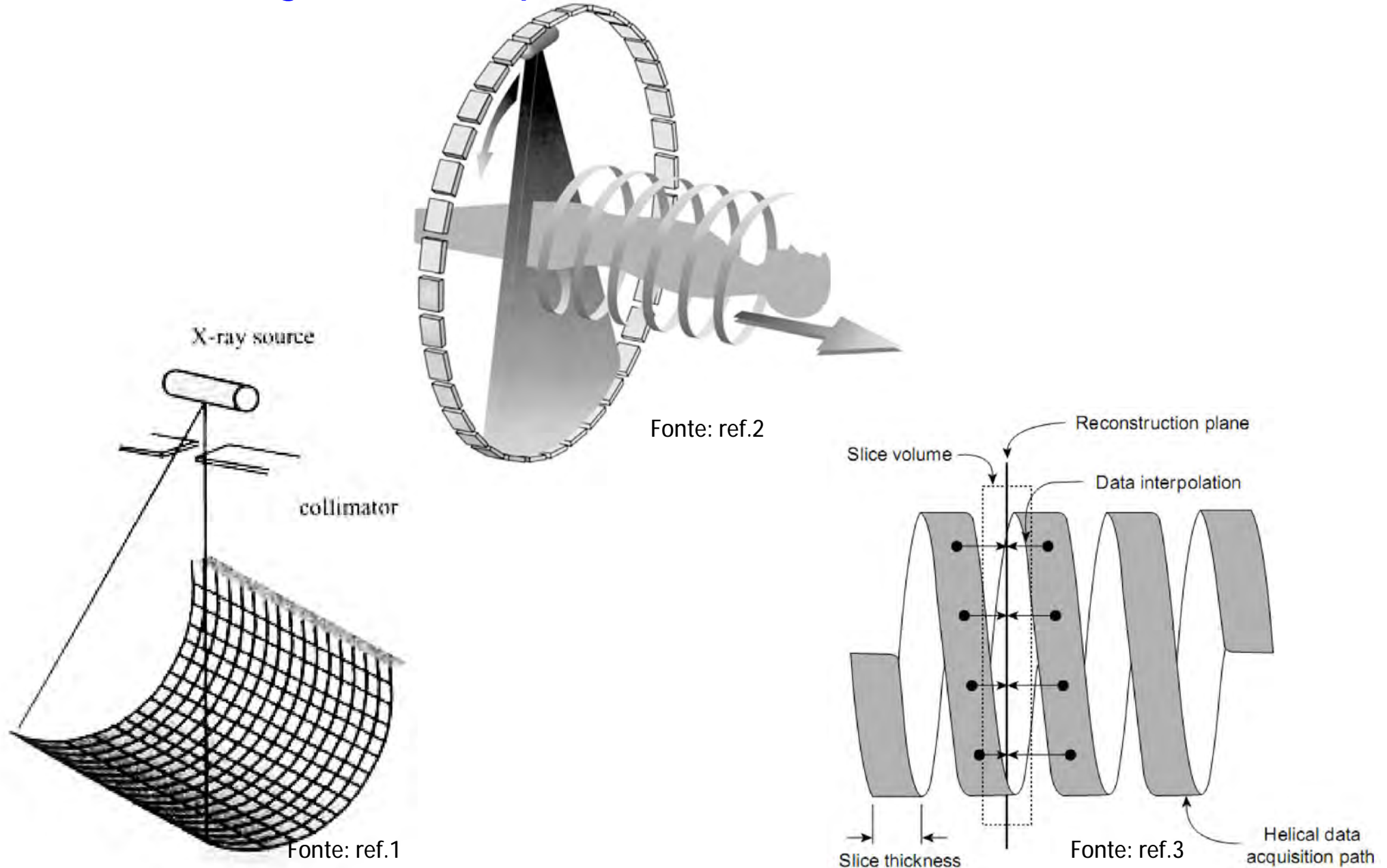
Tissue	CT Number
<b>Air</b>	<b>−1000</b>
Fat	−60
<b>Water</b>	<b>0</b>
Cerebral spinal fluid	10
Brain edema	20
Brain white matter	30
Brain gray matter	38
Blood	42
Muscle	44
Hemorrhage	80
Dense bone	~ 1000

## As diversas gerações de tomógrafos (scanners)



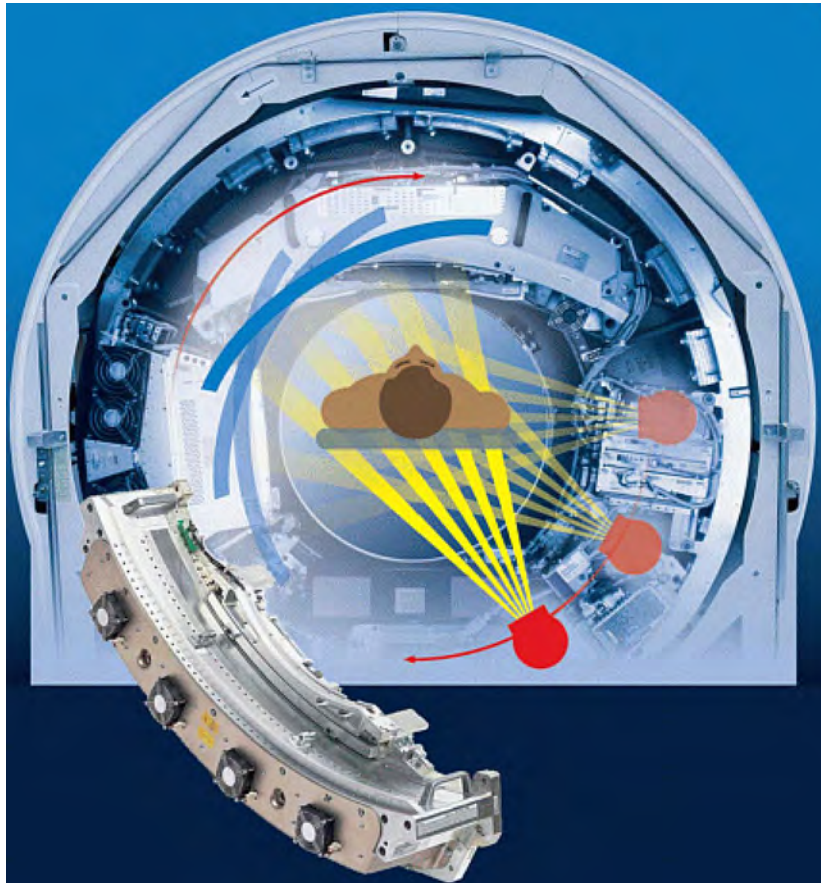


## Ultima (4ª) geração: aquisição helicoidal multifatias

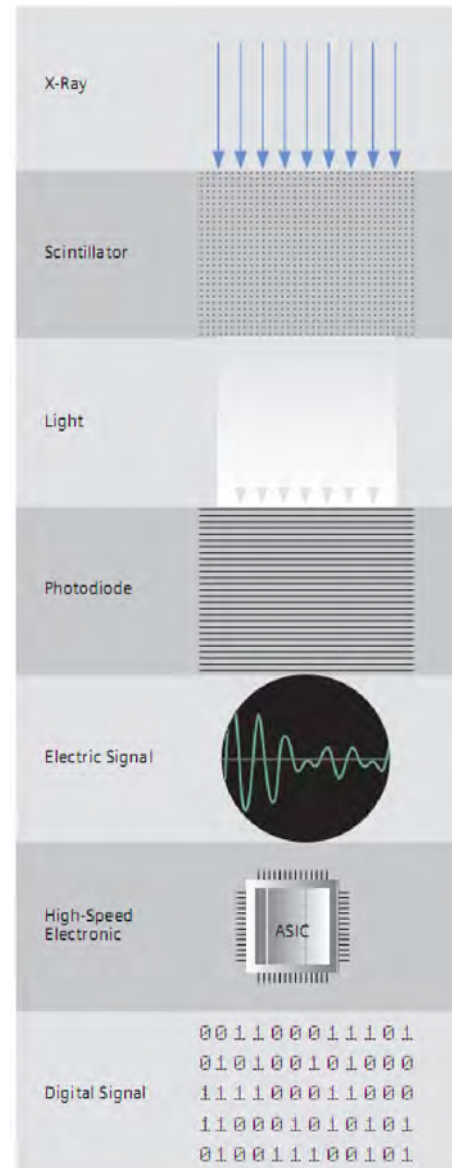


## Deteciores

Tecnologia mais moderna: matriz de cintiladores e fotodiodos



Siemens Somatom – 64 fatias



## Dose de radiação

**TABLE 62.1** Summary of the CT Dose Index (CTDI) Values at Two Positions (Center of the Patient and Near the Skin) as Specified by Four CT Manufacturers for Standard Head and Body Scans. Fonte: ref.2

Manufacturer	Detector	kVp	mA	Scan Time (s)	CTDI, center (mGy)	CTDI, skin (mGy)
A, head	Xenon	120	170	2	50	48
A, body	Xenon	120	170	2	14	25
A, head	Solid state	120	170	2	40	40
A, body	Solid state	120	170	2	11	20
B, head	Solid state	130	80	2	37	41
B, body	Solid state	130	80	2	15	34
C, head	Solid state	120	500	2	39	50
C, body	Solid state	120	290	1	12	28
D, head	Solid state	120	200	2	78	78
D, body	Solid state	120	200	2	9	16

para fótons:  $Gy=Sv$

**TABLE 1.3. Effective Dose Equivalent  $H_E$  for Clinical X-Ray CT Exams** Fonte: ref.1

Clinical exam	$H_E$ (mSv)
Breast	0.05
Chest X-ray	0.03
Skull X-ray	0.15
Abdominal X-ray	1.0
Barium fluoroscopy	5
Head CT	3
Body CT	10

### Origem das figuras

- 1 -Introduction to biomedical imaging, Andrew Webb, Wiley-Interscience, ISBN: 0-471-23766-3.
- 2- Introduction to biomedical engineering, John D. Enderle, Susan M. Blanchard, Joseph D. Bronzino, Elsevier, Amsterdam, ISBN: 978-0-12-238662-6.
- 3 - Encyclopedia of medical devices and instrumentation, JG Webster, 1990, John Wiley & Sons, Inc. New York, NY, USA.
- 4 - Advances in Digital Radiography: Physical Principles and System Overview, Markus Körner et al., RadioGraphics 2007; 27:675–686 Published online 10.1148/rg.273065075
- 5 – Basic Physics of Nuclear Medicine, Kieran Maher et al.,  
[http://en.wikibooks.org/wiki/Basic\\_Physics\\_of\\_Nuclear\\_Medicine](http://en.wikibooks.org/wiki/Basic_Physics_of_Nuclear_Medicine)